

化学非平衡夸克 - 胶子等离子体中的双轻子产生 *

龙家丽¹ 贺泽君^{1,2;1)} 蒋维洲¹ 马余刚¹ 刘波³

1 (中国科学院上海应用物理研究所 上海 201800)

2 (兰州重离子加速器国家实验室理论核物理中心 兰州 730000)

3 (中国科学院高能物理研究所 北京 100039)

摘要 研究了正在进行化学平衡的具有有限重子密度的夸克 - 胶子等离子体系统的演化和双轻子产生。结果发现由于夸克相的寿命随初始夸克化学势的增加而增加,以及其他一些因素,如较高的初始温度、较大的胶子密度和较大的胶子聚变和夸克湮没反应截面,导致热粲夸克对双轻子产生提供了占统治的贡献。这个效应造成中等质量双轻子的重大增强。

关键词 夸克 - 胶子等离子体 双轻子产生 化学平衡

相对论重离子碰撞器(RHIC)和大强子碰撞器(LHC)都将为研究夸克胶子等离子体(QGP)的形成和演化提供很好的机会。由于QGP存在时间极短,不能对它直接探测。在许多间接的探测信号中,双轻子被认为是最有希望的一种探测信号。

许多作者^[1,2]认为碰撞中产生的QGP系统是一个热力学平衡系统,并在此基础上计算了双轻子的产生,发现双轻子产额是初始夸克化学势的减函数。先前双轻子产生的这一特征被看作为QGP产生的一种信号。最近几年,一些作者^[3,4]的研究表明,由于在RHIC能量下QGP系统的部分子密度很大,它们碰撞频繁,系统能达到热平衡。但是,要达到化学平衡,则需要更多正反夸克对。而产生夸克对需要能量,这又会使系统温度下降得更快,因此,系统远未达到化学平衡^[5]。描述这样的非平衡系统的参数是夸克(反夸克)逃逸因子 $\lambda_{q(\bar{q})}$ 和胶子逃逸因子 λ_g 。这些因子远小于1,当系统达到化学平衡时就取1。文献[6,7]的作者已经推导了化学非平衡零重子系统的演化方程,研究了化学平衡对双轻子产生的影响。特别指出的是,文献[8,9]的作者计算了RHIC能量下非平衡QGP系统的初始条件,结果显示系统具有重子数密度。因而进一步研究化学平衡对富重

子QGP系统的影响是必要的。另一方面,文献[6,7,10]指出,化学非平衡系统的部分子分布函数可以用Jüttner分布表示。对于夸克和反夸克为:

$$f_{q(\bar{q})} = \lambda_{q(\bar{q})} / (e^{(p \mp \mu_q)/T} + \lambda_{q(\bar{q})});$$

对于胶子为: $f_g(p) = \lambda_g / (e^{p/T} - \lambda_g)$ 。当逃逸因子远小于1时,可以近似为Boltzmann形式 $f_{q(\bar{q})} = \lambda_{q(\bar{q})} \times e^{-(p \mp \mu)/T}$ ^[11]。但是,正如文献[6]指出的,在接近平衡时,将引入40%的误差。对于夸克(或反夸克)经常采用系数化的Fermi-Dirac近似分布 $f_{q(\bar{q})} = \lambda_{q(\bar{q})} / (e^{(p \mp \mu_q)/T} + 1)$ 。对于胶子则采用系数化的Bose-Einstein近似分布 $f_g(p) = \lambda_g / (e^{p/T} - 1)$ 。但是文献[6]在用这样的近似来计算热屏蔽质量时,只有在 $\lambda_g = 1$ 时,计算结果才和 Jüttner 分布的计算结果一致,而在 λ_g 的中值区域,结果差别很大。从以上叙述不难看出,用这些近似分布函数来描述系统的整个化学平衡过程,要获得好的结果是比较困难的。

本文基于 Jüttner 部分子分布函数,研究富重子化学非平衡 QGP(CEQGP)系统的演化,计算夸克反夸克湮没 $q\bar{q} \rightarrow l\bar{l}$ 、 $q\bar{q} \rightarrow c\bar{c}$ 、胶子聚变 $gg \rightarrow cc$ 和类 Compton 反应 $qg \rightarrow q\bar{l}l$ 对双轻子的贡献,揭示重子数密度对 CEQGP 系统的演化和双轻子产生的影响。

2003-06-12 收稿

* 中国科学院知识创新工程重要方向项目(KJCX2-N11),国家自然科学基金(10075071),国家重点基础研究发展计划项目(G200077400)和中国科学院领域前沿重大项目资助

1) E-mail: hezj@sinr.ac.cn

夸克(反夸克)的数密度为

$$n_{q(\bar{q})} = \frac{g_{q(\bar{q})}}{2\pi^2} \lambda_{q(\bar{q})} \int \frac{p^2 dp}{\lambda_{q(\bar{q})} + e^{(p \mp \mu_q)/T}}, \quad (1)$$

将其对 μ_q 展开, 得到系统的重子数密度

$$\begin{aligned} n_{b,q} = \frac{g_q}{6\pi^2} & \left[T^3 (Q_1^2 \lambda_q - \bar{Q}_1^2 \lambda_{\bar{q}}) + \right. \\ & 2\mu_q T^2 (Q_1^1 \lambda_q + \bar{Q}_1^1 \lambda_{\bar{q}}) + \\ & T\mu_q^2 (Q_1^0 \lambda_q - \bar{Q}_1^0 \lambda_{\bar{q}}) + \\ & \left. \frac{1}{3}\mu_q^3 \left(\frac{\lambda_q}{\lambda_q + 1} + \frac{\lambda_{\bar{q}}}{\lambda_{\bar{q}} + 1} \right) \right] \end{aligned} \quad (2)$$

和相应的包括了胶子贡献的能量密度

$$\begin{aligned} \epsilon_{QGP} = \frac{g_g}{2\pi^2} & \left[T^4 (Q_1^3 \lambda_q + \bar{Q}_1^3 \lambda_{\bar{q}})^2 + \right. \\ & 3\mu_q T^3 (Q_1^2 \lambda_q - \bar{Q}_1^2 \lambda_{\bar{q}}) + 3\mu_q^2 T^2 (Q_1^1 \lambda_q) + \\ & \bar{Q}_1^1 \lambda_{\bar{q}}) + T\mu_q^3 (Q_1^0 \lambda_q - \bar{Q}_1^0 \lambda_{\bar{q}}) + \\ & \left. \frac{1}{3}\mu_q^4 \left(\frac{\lambda_q}{\lambda_q + 1} + \frac{\lambda_{\bar{q}}}{\lambda_{\bar{q}} + 1} \right) + \frac{g_g}{g_q} T^4 \lambda_g G_1^3 \right] + \\ & \frac{2\pi B_0}{g_q}, \end{aligned} \quad (3)$$

其中 $g_{q(\bar{q})}$ 和 g_g 分别是夸克(反夸克)和胶子的简并因子. 出现在上面展开式中的 G_m^n , Q_m^n 和 \bar{Q}_m^n 依次是胶子、夸克和反夸克的积分因子, 对它们很容易进行数值计算.

假设导致化学平衡的主要反应为 $gg \leftrightarrow ggg$ 和 $gg \leftrightarrow q\bar{q}$. 假定部分子弹性散射足够快以至于能够建立起局域热平衡, 则部分子密度的演化能够由主方程得出. 考虑到取 $\lambda_q = \lambda_{\bar{q}}$ 不会影响系统演化的定性特性, 把主方程组与能量 - 动量守恒方程和重子数守恒方程结合起来, 考虑系统纵向标度膨胀, 基于上面所得到的热力学关系, 可以得到描述富重子 CEQGP 系统的温度 T 、夸克化学势 μ_q 、夸克逃逸因子 λ_q 和胶子逃逸因子 λ_g 演化的耦合驰豫方程组.

$$\begin{aligned} \left(\frac{1}{\lambda_g} + \frac{G_2^2}{G_1^2} \right) \dot{\lambda}_g + 3 \frac{\dot{T}}{T} + \frac{1}{\tau} &= R_3 \left[1 - \frac{G_1^2}{2\xi(3)} \lambda_g \right] - \\ 2R_2 \left[1 - \left(\frac{2\xi(3)}{G_1^2} \right)^2 \frac{n_q n_{\bar{q}}}{\bar{n}_q \bar{n}_{\bar{q}}} \frac{1}{\lambda_g^2} \right], \end{aligned} \quad (4)$$

$$\begin{aligned} \dot{\lambda}_q \left[T^3 (Q_1^2 - \lambda_q Q_2^2) + 2\mu_q T^2 (Q_1^1 - \lambda_q Q_1^1) + \right. \\ T\mu_q^2 (Q_1^0 - \lambda_q Q_2^0) + \frac{1}{3}\mu_q^3 \frac{1}{(\lambda_q + 1)^2} \left. \right] + \\ \dot{T} [3\lambda_q T^2 Q_1^2 + 4\lambda_q \mu_q T Q_1^1 + \lambda_q \mu_q^2 Q_1^0] + \\ \mu_q \left[2\lambda_q T^2 Q_1^1 + 2\lambda_q \mu_q T Q_1^0 + \mu_q^2 \frac{\lambda_q}{\lambda_q + 1} \right] + \end{aligned}$$

$$\frac{n_q^0}{\tau} = n_g^0 R_2 \left[1 - \left(\frac{2\xi(3)}{G_1^2} \right)^2 \frac{n_q n_{\bar{q}}}{\bar{n}_q \bar{n}_{\bar{q}}} \frac{1}{\lambda_g^2} \right], \quad (5)$$

$$\begin{aligned} \dot{\lambda}_q \left[4\mu_q T^2 (Q_1^1 - \lambda_q Q_1^1) + \frac{2}{3}\mu_q^3 \frac{1}{(\lambda_q + 1)^2} \right] + \\ \dot{T} 8\mu_q T Q_1^1 \lambda_q + \dot{\mu}_q \left[4T^2 Q_1^1 \lambda_q + 2\mu_q^2 \frac{\lambda_q}{(\lambda_q + 1)} \right] = \\ - \frac{1}{\tau} \left[4\mu_q T^2 Q_1^1 \lambda_q + \frac{2}{3}\mu_q^2 \frac{\lambda_q}{(\lambda_q + 1)} \right], \end{aligned} \quad (6)$$

$$\begin{aligned} - \lambda_q Q_2^3 + 6T^2 \mu_q^2 (Q_1^1 - \lambda_q Q_1^2) + \frac{2}{4}\mu_q^2 \times \\ \frac{1}{(\lambda_q + 1)^2} + \dot{T} \left[8T^3 Q_1^3 \lambda_q + 12\mu_q^2 T Q_1^1 \lambda_q + \right. \\ \left. 4 \frac{g_g}{g_q} T^3 \lambda_g G_1^3 \right] + \dot{\mu}_q \left[12\mu_q T^2 Q_1^1 \lambda_q + \right. \\ \left. 2\mu_q^3 \frac{\lambda_q}{(\lambda_q + 1)} \right] = - \frac{1}{\tau} \left[2T^4 Q_1^3 \lambda_q + 6\mu_q^2 T^2 \times \right. \\ \left. Q_1^1 \lambda_q \left(\frac{\lambda_q}{\lambda_q + 1} \right) + \frac{g_g}{g_q} T^4 \lambda_g G_1^3 + \frac{2\pi B_0}{g_q} \right], \end{aligned} \quad (7)$$

这里 $\bar{n}_{q(\bar{q})}$ 是 $\lambda_{q(\bar{q})} = 1$ 时 $n_{q(\bar{q})}$ 的值, $n_q^0 = n_q / \left(\frac{g_q}{2\pi^2} \right)$,

$n_g^0 = n_g / \left(\frac{g_g}{2\pi^2} \right)$, 袋常数 $B_0^{1/4} = 250 \text{ MeV}$, $\xi(3) = 1.20206$.

胶子和夸克产生率 R_3/T 和 R_2/T 分别为:

$$R_3/T = \frac{32}{3a_1} \frac{\alpha_s}{\lambda_g} \left[\frac{(M_D^2 + s/4) M_{OD}^2}{9T^4/2} \right]^2 \times I(\lambda_g, \lambda_q, T, \mu_q), \quad (8)$$

$$R_2/T = \frac{g_g}{24\pi} \frac{G_1^2}{G_2^2} N_f \alpha_s^2 \lambda_g \cdot \ln(1.65/\alpha_s \lambda), \quad (9)$$

$$M_D^2 = \frac{3g^2 T^2}{\pi^2} \left[2G_1^1 \lambda_g + 2N_f Q_1^1 \lambda_q + \left(\frac{\mu_q}{T} \right)^2 \left(\frac{\lambda_q}{\lambda_q + 1} \right) \right], \quad (10)$$

这里 M_D^2 是 Debye 屏蔽质量, $a_1 = g_g 2\pi^2 G_1^2$, $M_{OD}^2 = M_D^2/g^2 (g^2 = 4\pi\alpha_s)$, $I(\lambda_g, \lambda_q, T, \mu_q)$ 是 $\lambda_g, \lambda_q, T, \mu_q$ 的函数. 按照文献[6,7], 我们也取夸克味 $N_f = 2.5$.

给出了部分子系统的演化, 就可以计算夸克反夸克湮没 $q\bar{q} \rightarrow l\bar{l}$ 和系统平衡过程中的热粲夸克衰变所产生的轻子对. RHIC 能量碰撞产生的 QGP 系统具有很高的初始温度(约 0.57 GeV)^[6], 热粲夸克产生和它对轻子对的贡献应该被考虑进去, 特别是胶子聚变 $gg \rightarrow c\bar{c}$ 和夸克反夸克湮没 $q\bar{q} \rightarrow c\bar{c}$ 所产生的热粲夸克. 现在我们计算夸克湮没反应 $q\bar{q} \rightarrow l\bar{l}$ 的双轻子产生率. 用文献[12]的基本公式, 经过推导, 并做代换 $p_{01}/T = x$, $p_{02}/T = y$, $\mu_q/T = z$ 和 $M/T = u$, 对纵向标度膨胀, 当取 $N_f = 2.5$ 时, 我们得到产额

$$\frac{dN}{dM^2 dY} = \frac{8}{3} \frac{M^2 \sigma}{(2\pi)^4 \pi R^2} \int \lambda_q^2 \times \\ \frac{dx dy d\tau \tau T^2 \theta(xy - u^2/4)}{[e^{x-z} + \lambda_q][e^{y+z} + \lambda_q]}, \quad (11)$$

这里 M 是双轻子不变质量. 由于这些积分很容易进行数值计算, 因而可以得到更精确的结果. 夸克和胶子简并因子分别是 $g_q = N_f (2 \times 3)$ 和 $g_g = (2 \times 8)/2$. $q\bar{q} \rightarrow c\bar{c}$ 和 $gg \rightarrow c\bar{c}$ 的反应截面已经给在文献 [13, 14] 中. 因此, 类似反应 $q\bar{q} \rightarrow l\bar{l}$ 的计算, 可以计算出反应 $q\bar{q} \rightarrow c\bar{c}$ 和 $gg \rightarrow c\bar{c}$ 的产额. 几乎所有产生的热粲夸克最终都强子化为 D 介子^[13]. 考虑到带电 D 介子衰变为轻子(衰变为 μ_q 或者 e)的分支比为 34 %, 中性 D 介子衰变的分支比为 15 %. 最后我们得到反应 $q\bar{q} \rightarrow c\bar{c}$ 和 $gg \rightarrow c\bar{c}$ 产生的热粲夸克对轻子对的贡献. 这里如同文献 [3] 一样, 忽略了粲碎裂.

本文主要讨论 RHIC 能量下 $^{197}\text{Au} + ^{197}\text{Au}$ 碰撞. 文献 [8] 的作者基于微扰 QCD 的方法, 用 Glauber 多重散射理论计算了 $\sqrt{s} = 200A$ GeV 和 $\sqrt{s} = 5.5A$ TeV 时非平衡系统的初始条件. 他们已得到夸克、反夸克、胶子的数密度、能量密度和初始温度 $T_0 = 0.552$ GeV. 用他们所给出的密度值, 基于上述富重子 CEQGP 系统的热力学关系, 对于初值 $\lambda_{g0} = 0.08$ 和 $\lambda_{q0} = 0.02$, 我们得到初始温度 $T_0 = 0.566$ GeV 和初始夸克化学势 $\mu_{q0} = 0.284$ GeV. 很明显, 这些初始温度都很接近 Hijing 模型^[6] 的计算结果. 采用 Hijing 模型的结果, 取系统的初始值为: $\tau_0 = 0.70$ fm, $T_0 = 0.57$ GeV, $\lambda_{g0} = 0.08$ 和 $\lambda_{q0} = 0.02$. 为了进一步理解重子数密度对双轻子产额的影响, 我们把计算扩展到初始化学势 $\mu_{q0} = 0.568$ GeV. 对于初始化学势 $\mu_{q0} = 0.000, 0.284$ 和 0.568 GeV, 求解耦合弛豫方程组 (4)–(7) 得到系统的温度、夸克化学势、逃逸因子 λ_q 和 λ_g 的演化. 计算出的温度、夸克化学势、部分子产生率和逃逸因子的分布分别示于图 1 中.

下面我们讨论初始夸克化学势对系统演化的影响. 对于零重子 QGP 系统, 仅当系统温度沿着相图的温度轴降低到某一个确定的临界温度 T_c 时, 系统的强子化才会发生. 但是, 在本文中, 系统的夸克化学势和温度都是时间的函数, 相对于零重子 QGP 系统来说, 系统的 (μ_q, T) 值到达相边、发生相变必定经历更长的时间. 这将导致夸克相寿命的增加. 而且, 我们也发现随着夸克相初始夸克化学势的增加, 胶子的产生率 R_g/T 上升, 如图 1(c) 所示, 从而导致

胶子的平衡化率下降, 如图 1(d). 因而系统的能量损耗降低, 夸克相寿命进一步增加.

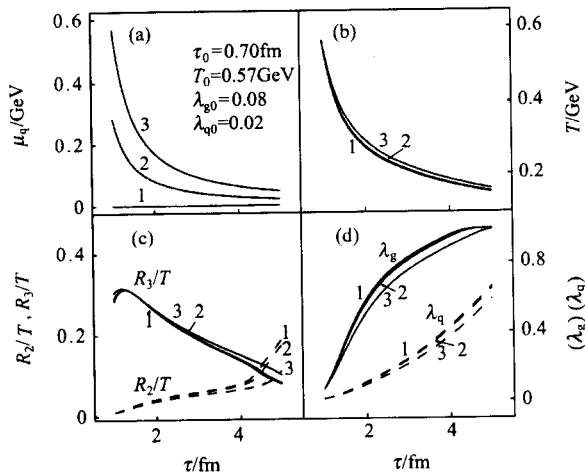


图 1 温度、夸克化学势、部分子产生率和逃逸因子的分布曲线 1–3 分别对应初始化学势 $\mu_{q0} = 0.000, 0.284$ 和 0.568 GeV 的贡献. 实线来自胶子的贡献, 虚线来自夸克的贡献.

我们计算了夸克湮没 $q\bar{q} \rightarrow l\bar{l}$ 的双轻子谱 $dN/dM^2 dY$, 结果见图 2. 对于热力学平衡的 QGP 系统, 反应 $q\bar{q} \rightarrow l\bar{l}$ 的产额随着初始夸克化学势 μ_{q0} 增加而抑制^[10]. 但是, 从上面的讨论指出随着夸克相初始夸克化学势的增加, 富重子 CEQGP 系统夸克相的寿命增加. 相应地, 夸克相对双轻子的贡献也增加. 对于 RHIC 能量下产生的系统, 由于具有非常高的初始温度, 这一影响会更加显著. 这可以从图 2 中的曲线 1 到 3 看出, 对于 CEQGP 系统, 随着夸克相初始夸克化学势的增加, 双轻子产额增加. 这表明夸克相寿命的增加是由富重子 CEQGP 系统的演化特性所决定的.

在图 3 中, 我们给出了过程类 Compton 反应 qg

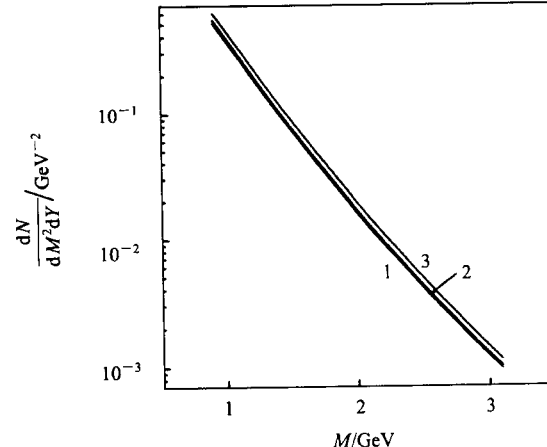


图 2 反应 $q\bar{q} \rightarrow l\bar{l}$ 的双轻子谱 $dN/dM^2 dY$
初始值和图中说明同图 1.

$\rightarrow q\bar{q}l\bar{l}$ 、湮没 $q\bar{q}\rightarrow l\bar{l}$ 、湮没 $q\bar{q}\rightarrow c\bar{c}$ 、聚变 $gg\rightarrow c\bar{c}$ 和它们总和的双轻子谱 $dN/dM^2 dY$, 依次用曲线 1 到 5 表示。由于胶子聚变 $gg\rightarrow c\bar{c}$ 和夸克湮没 $q\bar{q}\rightarrow c\bar{c}$ 的产额对初始温度的强烈依赖、中等质量区聚变反应 $gg\rightarrow c\bar{c}$ 大的反应截面^[13] 和 CEQGP 系统高的胶子密度, 反应 $q\bar{q}\rightarrow l\bar{l}$, 特别是 $gg\rightarrow c\bar{c}$ 和 $q\bar{q}\rightarrow c\bar{c}$ 必然在系统的演化期间对双轻子产额有重要贡献, 见图 3 中的曲线 3 和曲线 4。这使得中等质量双轻子增强, 见图 3 中的曲线 5。可见双轻子谱主要由聚变反应 $gg\rightarrow c\bar{c}$ 决定, 其次是湮没反应 $q\bar{q}\rightarrow c\bar{c}$, 它的贡献比前一反应低半个数量级, 湮没反应 $q\bar{q}\rightarrow l\bar{l}$ 低了两个数量级, 而类 Compton 反应 $qg\rightarrow q\bar{q}l\bar{l}$ 又比湮没反应 $q\bar{q}\rightarrow l\bar{l}$ 低了两个数量级。另外, 在图 4 中给出了 4 种反应的总产额。曲线 1 到曲线 3 分别对应初始温度 $T_0 = 0.57 \text{ GeV}$ 时, 初始夸克化学势 $\mu_{q0} = 0.000, 0.284$ 和 0.568 GeV 的情形。计算已经显示富重子 CEQGP 系统的反应 $q\bar{q}\rightarrow l\bar{l}$ 的双轻子产额是初始夸克化学势的

增函数。夸克相寿命的增加进一步引起反应 $gg\rightarrow c\bar{c}$ 和 $q\bar{q}\rightarrow c\bar{c}$ 贡献的增强。因此, 总产额必然随初始夸克化学势的增加而显著地上升, 显现出中等质量双轻子的重大增强。

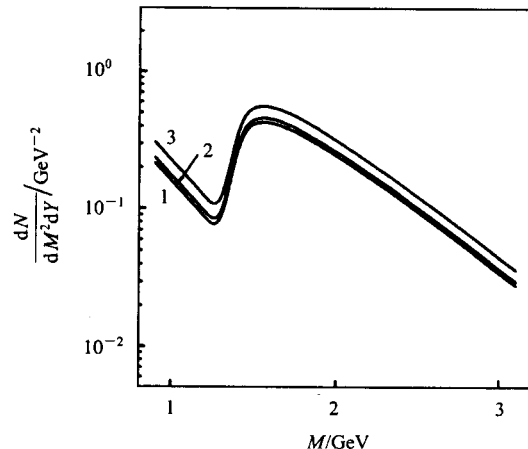


图 4 总的双轻子谱 $dN/dM^2 dY$

过程包括类 Compton 反应 $qg\rightarrow q\bar{q}l\bar{l}$, 湮没 $q\bar{q}\rightarrow l\bar{l}$, 湮没 $q\bar{q}\rightarrow c\bar{c}$, 聚变 $gg\rightarrow c\bar{c}$ 。初始值和图中说明同图 1.

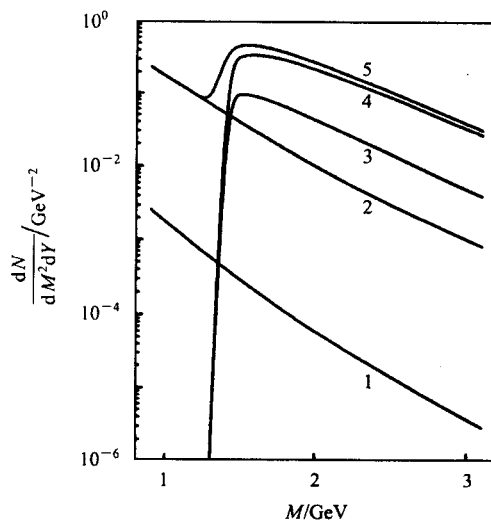


图 3 初始温度 $T_0 = 0.57 \text{ GeV}$, 初始化学势 $\mu_{q0} = 0.284 \text{ GeV}$ 的双轻子谱 $dN/dM^2 dY$
详细说明见正文。

综上所述, 我们从 CEQGP 系统部分分子的 Jüttner 相空间分布函数出发, 建立了系统的演化模型。发现初始夸克化学势的上升将改变 CEQGP 系统的流体力学行为而导致夸克相寿命的增加。这一效应提高了双轻子产额, 能补偿甚至超过由于初始夸克化学势增加引起的双轻子的抑制效应, 使双轻子产额成为初始夸克化学势的增函数。另一方面, 由于系统的高初始温度、高胶子密度、以及中等质量区反应 $gg\rightarrow c\bar{c}$ 和 $q\bar{q}\rightarrow c\bar{c}$ 大的反应截面, 来自反应 $gg\rightarrow c\bar{c}$ 和 $q\bar{q}\rightarrow c\bar{c}$ 的热粲夸克对中等质量双轻子产生会有显著的贡献。这使得双轻子产额进一步增加。我们应该强调, 夸克相寿命的增加必然进一步提高过程 $gg\rightarrow c\bar{c}$ 和 $q\bar{q}\rightarrow c\bar{c}$ 的贡献。因此, 我们能期望观察到产生在 RHIC 能量的富重子 CEQGP 系统的中等质量双轻子的显著增强。

参考文献(References)

- 1 Bjorken J D. Phys. Rev., 1983, **D27**:140
- 2 HE Z J, ZHANG J J, QIU X J et al. Nucl. Phys., 1997, **A614**:552
- 3 Shuryak E. Phys. Rev. Lett., 1992, **68**:3270
- 4 Eskola K J, WANG X N. Phys. Rev., 1994, **D49**:1284
- 5 Srivastava D K, Mustafa M G, Müller B. Phys. Lett., 1997, **B396**:451
- 6 Biró T S, Doorn E V, Müller B et al. Phys. Rev., 1993, **C48**:1275
- 7 Traxler C T, Thoma M H. Phys. Rev., 1996, **C53**:1345
- 8 Hammon N, Stöcker H, Greiner W. Phys. Rev., 1999, **C61**:014901-1
- 9 Geiger K, Kapusta J I. Phys. Rev., 1993, **D47**:4905
- 10 Kämpfer B, Pavlenko O P, Gorenstein M I et al. Z. Phys., 1995, **A353**:71
- 11 Kämpfer B, Pavlenko O P, Peshier A et al. Phys. Rev., 1995, **C52**:2704
- 12 Domokos G, Goldman J I. Rev., 1981, **D23**:203
- 13 Shor A. Phys. Lett., 1988, **B215**:375; Phys. Lett., 1989, **B233**:231; Combridge B L. Nucl. Phys., 1979, **B151**:429
- 14 Gavin S, McGaughey P L, Ruuskanen P V et al. Phys. Rev., 1996, **C54**:2606

Dileptons from a Chemically Non-equilibrated Quark-Gluon Plasma *

LONG Jia-Li¹ HE Ze-Jun^{1,2;1)} JIANG Wei-Zhou¹ MA Yu-Gang¹ LIU Bo³

1(Shanghai Institute of Applied Physics, Chinese Academy of Sciences, Shanghai 201800, China)

2(Center of Theoretical Nuclear Physics, National Laboratory of Heavy Ion Accelerator, Lanzhou 730000, China)

3(Institute of High Energy Physics, Chinese Academy of Sciences, Beijing 100039, China)

Abstract The evolution and dilepton production of a chemically equilibrating quark-gluon plasma system at finite baryon density have been studied. It was found that due to the increase of the quark phase life-time with increasing initial quark chemical potential, and other factors like higher initial temperature, larger gluon density and gluon fusion or quark annihilation cross section, thermal charmed quarks provide a dominant contribution to dilepton yield. This results in a significant enhancement of intermediate mass dilepton production.

Key words quark-gluon plasma, dilepton production, chemical equilibration

Received 12 June 2003

* Supported by CAS Knowledge Innovation Project (KJCX2-N11), National Natural Science Foundation of China (10075071), Major State Basic Research Development Program (G200077400) and CAS Knowledge Innovation Project

1) E-mail: hezj@sinr.ac.cn